

Сплошная кривая отделяет ферми-жидкостную область от неферми-жидкостной,  $k$ -рая подразделяется на диэлектрич. фазу (при больших  $U$ ) и металлич. фазу (при меньших  $U$ ). Разумеется, представленные на рис. 3, 4 фазовые диаграммы достаточно схематичны и должны уточняться (даже в пределе  $d \rightarrow \infty$ ).

Подчеркнём, что ур-ния (10) и (11) являются точными ур-ниями для  $X. м.$  в пределе  $d \rightarrow \infty$ , хотя для получения их решения необходимо численно решить вспомогат. задачу об однопримесной модели Андерсона,  $k$ -рая соответствует точной теории ср. поля для  $X. м.$  Т. о., известны (по крайней мере, в принципе) точные решения  $X. м.$  для двух случаев:  $d=1$  (Либ и Ву [8]; подробнее см. в ст. *Точно решаемые модели* в квантовой теории поля и в статистической физике) и  $d \rightarrow \infty$ . Возникает вопрос, насколько близко поведение модели при  $d=3$  к случаю  $d = \infty$ . Полного ответа на него ещё нет, однако накопленный опыт исследования в пределе  $d \rightarrow \infty$  позволяет сделать вывод о том, что эфф. размерность реального пространства можно считать весьма высокой. Отд. сравнения результатов расчётов для  $d = \infty$  и  $d=3$  подтверждают это. Существуют методы вычисления поправок по параметру  $1/d$ , дающие хорошее согласие с численными расчётами для трёхмерного случая [9].

**Движение дырки в антиферромагнитной матрице.** В случае половинного заполнения при конечных  $U$   $X. м.$  сводится к гейзенберговскому антиферромагнетизму и для простой кубич. решётки осн. состояние является двухподрешёточным (неелевским) антиферромагнетиком. Наиб. интерес представляет состояние с одной дыркой в такой системе, причём движение дырки и антиферромагн. состояние самоогласованно связаны: дырка при своём движении деформирует антиферромагн. окружение, что, в свою очередь, влияет на её движение. Простейший анализ движения дырки в неелевском антиферромагнетике даёт изинговское приближение, когда обменная энергия двух спинов  $\sim (S_1 S_2)$  заменяется на  $S_1^z S_2^z$ , что означает пренебрежение поперечными компонентами во взаимодействии спинов.

При движении дырки в строго неелевском антиферромагнетике вдоль её траектории неизбежно возникает неправильное расположение спинов (рис. 5), требующее затрат энергии  $\sim J_l$ , где  $l$  — длина траектории. Вследствие

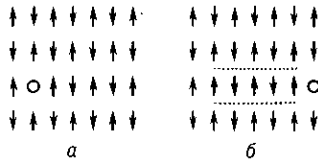


Рис. 5. Движение дырки в антиферромагнитной матрице:  $a$  — начальное состояние;  $b$  — конечное состояние. В результате перемещения дырки на длину  $l$  возникает область неправильно расположенных спинов («струна») такой же длины.

этого движение дырки становится энергетически невыгодным и она автолокализуется. Центром *автолокализации* дырки (или лишнего электрона) является узел, занятый дыркой, при  $k$ -ром сохраняется идеальное антиферромагн. расположение спинов (рис. 5,  $a$ ). Такое состояние является аналогом трёхмерного осциллятора,  $k$ -рый формируется частицей, движущейся не в квадратичном, как обычно, а в линейном потенциале [10]. В таком потенциале возникает связанное состояние с энергией  $\sim (J/l)^{2/3} t$ , отсчитанной от дна зоны. Квазиосцилляторное состояние существенно отличается от поляронного (см. *Полярон*), в  $k$ -ром деформация антиферромагн. структуры переносится по решётке дыркой (или электроном), пусть даже с достаточно большой эфф. массой. В квазиосцилляторном состоянии возникающая локальная деформация магн. структуры не переносится по решётке, если не включать поперечных компонент спинов гейзенберговского обменного гамильтониана. Последние разрешают процессы спонтанного переворота спинов, благодаря  $k$ -рым может

релаксировать созданная деформация структуры и, следовательно, становится возможным движение дырки. Т. о., в изинговском пределе трансляц. движение дырки невозможно (эфф. масса равна бесконечности), спектральная плотность дырки  $A(k, \omega)$  с нек-рым фиксированным волновым вектором  $k$  не имеет квазичастичного пика; соответствующая дырке спектральная плотность имеет некогерентный характер.

В описанную картину квазиосциллятора следует внести поправку, связанную с тем, что если дырка совершит петлю, перескакивая по соседним узлам, образующим квадратную ячейку двумерной решётки, причём обойдёт её полтора раза, то она окажется на противоположном конце диагонали квадрата, при этом в антиферромагн. решётке не произойдёт никаких изменений. Это означает, что дырка может передвигаться по магн. решётке без затрат энергии на её деформацию. Вклад подобного типа траекторий (петель Тругмана) приводит к конечной подвижности дырки даже в изинговском пределе.

Учёт взаимодействия поперечных компонент спина также приводит к конечной подвижности дырок. Эфф. масса дырки определяется процессом рассеяния на *спиновых флуктуациях* (спиновых волнах). При низких темп-рах возможно испускание *спиновых волн* только с низкими энергиями. Если плотность состояний в спектре низкоэнергетич. спиновых возбуждений мала, то можно ожидать хорошо определённые когерентные состояния дырок как квазичастиц вблизи дна дырочного спектра,  $k$ -рые имеют конечное, но не слишком малое время жизни. При более высоких энергиях рассеяние усиливается и квазичастичный пик должен размываться.

Численные расчёты для малых кластеров подтвердили описанную картину движения дырки в квантовом антиферромагнетике. Неожиданным оказалось лишь хорошее количество совпадений результатов с картиной квазиосциллятора в изинговском пределе, как если бы поперечные компоненты спинов были эффективно выключены из динамики дырки. Объяснение этому парадоксу даёт рассмотрение  $t \rightarrow J$ -модели, описывающей квантовый антиферромагнетик в пределе бесконечной размерности  $d = \infty$ , когда вклады в динамику дырки от поперечных компонент исчезают. При учёте поправки  $\sim 1/d$  получается результат теории Бринкмана — Райса [11], использовавших приближение, в  $k$ -ром учитывались только траектории дырки, возвращающие её в исходную точку, т. е. состоящие из путей, проходящих дыркой туда и обратно. Все др. траектории (напр., типа замкнутых петель) дают вклад более высокого порядка, чем  $1/d$ . Результаты численных расчётов, проведённых на двумерных кластерах, совпадают с результатами теории с большей размерностью пространства, учитывающей поправки  $1/d$ .

**Теорема Нагаока. Ферромагнетизм.** Наряду с двумя известными точными решениями  $X. м.$  для  $d=1$  и  $d = \infty$  большое значение имеет точное решение в пределе  $U \rightarrow \infty$ , известное как теорема Нагаока [12]. Оно сводится к утверждению: осн. состояние  $X. м.$  в пределе  $U \rightarrow \infty$  с одной дыркой при половинном заполнении — насыщенный ферромагнетизм, тогда как при строго половинном заполнении ( $n=1$ ) осн. состояние антиферромагнитно. Теорема Нагаока дала основание ожидать, что при конечной концентрации дырок осн. состояние  $X. м.$  будет ферромагнитным при достаточно больших  $U$ ; однако строго это доказано не было. Более того, численные расчёты с двумя дырками в пределе  $U \rightarrow \infty$  показали неустойчивость насыщенного ферромагн. состояния. Кроме того, строго показано, что насыщенный ферромагнетизм сохраняется при макроскопич. числе дырок  $\sim N^\alpha$  ( $0 < \alpha < 1$ ), но при нулевой концентрации их в термодинамич. пределе. Вопрос об осн. состоянии системы в пределе  $U \rightarrow \infty$  при конечной концентрации дырок остаётся открытым. Очень вероятно, что осн. состояние будет ферромагнитным, но без насыщенного спонтанного момента. Во всяком случае, разл. вариат. методы, включая и метод Гутцвиллера (см. ниже), приводят к ферромагнетизму при достаточно больших  $U$ . Др. методы, напр. высокотемпературные разложения или